

УДК 620.178.138

ТЕХНИЧЕСКАЯ ФИЗИКА

И. И. КОРНИЛОВ

**К ВОПРОСУ О СВЯЗИ СВЕРХПЛАСТИЧНОСТИ
И ЖАРОПРОЧНОСТИ В МЕТАЛЛИЧЕСКИХ СИСТЕМАХ**

(Представлено академиком А. А. Бочваром 25 XI 1970)

Исследование открытого в 1945 г. А. А. Бочваром и З. А. Свидерской явления сверхпластичности (¹) сплавов двойной системы цинк — алюминий получило широкое развитие. Эти исследования велись в направлениях разработки теории сверхпластичности, дальнейшего накопления экспериментальных материалов, возможного использования этого свойства для обработки металлов при малых усилиях и получения изделий методом глубокой вытяжки. Обзор работ по сверхпластичности (до 1968 г.) приведен в (^{2, 3}).

Доказано, что сверхпластичность при определенных условиях проявляется в металлах и сплавах с полиморфными превращениями, в сплавах с тонкой структурой, в сплавах, по составу близких к эвтектическим (или эвтектоидным) и, наконец, в сплавах, образующих упорядоченные фазы.

По мнению авторов (^{2, 3}), сверхпластичность может иметь место: а) при температурах от 0,3 до 0,7 $T_{\text{пл}}$, б) при наличии мелкой (порядка нескольких микрон) и равнносной структуры фаз (^{2, 4}) и в) при наличии растворно-осадительных процессов, связанных со взаимной растворимостью компонентов (^{5, 6}). Последнее условие, как отмечается в (³), тесно связано с твердофазными реакциями между компонентами в сплавах, что приводит к явлениям массопереноса. Эти реакции между фазами, связанные с массовыми перемещениями атомов, обусловлены характером диаграммы состояния и переменной растворимостью компонентов в системе.

Во вступительной части доклада о сверхпластичности (²) отмечалось, что сверхпластичный материал является антиподом жаропрочного материала или сверхжаропрочного сплава (*superheat resistant superalloy*).

В результате многолетних исследований жаропрочности металлических систем нами было установлено, что в системах с ограниченной растворимостью компонентов на диаграммах состав — жаропрочность имеются составы сплавов как с максимальной жаропрочностью, так и с максимальной пластичностью — сверхпластичностью (⁷). Исходя из установленвшегося понимания термина сверхпластичности, мы считаем возможным для противоположной ей свойства ввести термин «максимальная для данной системы жаропрочность». Составы подобных сплавов на диаграмме состав — жаропрочность в большинстве случаев располагаются вблизи границы предельной растворимости, а сверхпластичные сплавы непосредственно следуют за областью составов сплавов, обладающих максимумом жаропрочности.

В результате уточнения некоторых вопросов было выяснено, что максимальные значения пластичности и сверхпластичности связаны с растворно-осадительным механизмом разупрочнения сплавов (^{5, 6}), а максимумы жаропрочности обусловлены действием растворно-дисперсионного механизма упрочнения сплавов (^{7, 8}). Установленные нами закономерности

изменения жаропрочности металлических систем в зависимости от состава сплавов, строения фаз и температуры легли в основу высказанных нами взглядов по физико-химической теории жаропрочности сплавов (⁷), стр. 475—496). Эти закономерности нашли подтверждение на многих примерах экспериментально изученных сплавов двойных, тройных и более сложных металлических систем на основе алюминия, железа, никеля, титана и других металлов (⁷⁻⁹).

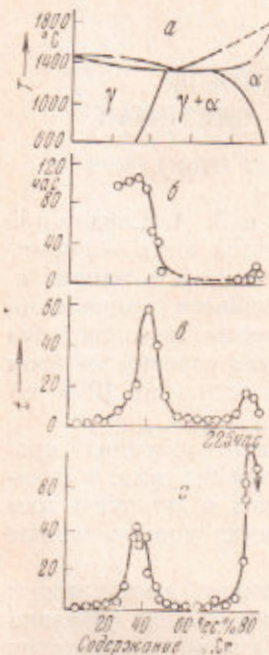


Рис. 1

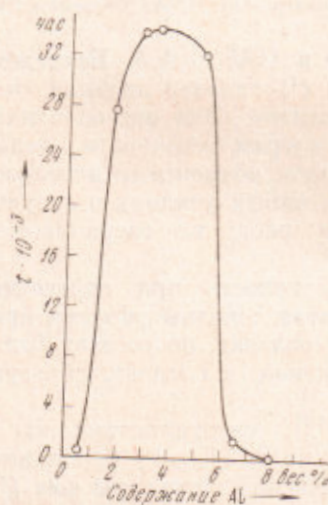


Рис. 2

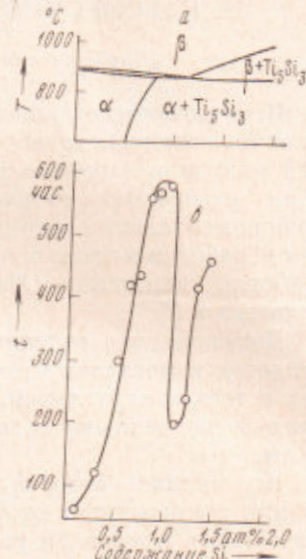


Рис. 3

Рис. 1. Диаграмма состояния (а) и состав — жаропрочность (б—г) сплавов системы Ni—Cr. t — время достижения стрелы изгиба 5 мм при: б — 1200° С и $\sigma = 0,25$ кГ/мм², г — 800° и $\sigma = 12,3$ кГ/мм²

Рис. 2. Диаграмма состав — жаропрочность сплавов пятикомпонентной системы Ni—Cr—W—Ti—Al. Составы сплавов: Ni — основа, Cr — 20%, W — 6%, Ti — 1,5% при содержании алюминия от 0 до 8%. Испытание методом изгиба при 900° и $\sigma = 6$ кГ/мм² в течение 35 000 час. t — время достижения стрелы изгиба 30 мм

Рис. 3. Диаграмма состояния и состав — жаропрочность двойной системы Ti—Si. Испытание методом изгиба при 400° и $\sigma = 20$ кГ/мм² в течение более 600 час.

Для иллюстрации на рис. 1 приводятся экстремальные значения жаропрочности и пластичности на диаграммах состав — жаропрочность* системы Ni—Cr (⁷). При всех изученных температурах 1200, 1000 и 800° имеются максимумы жаропрочности на составах, расположенных вблизи границы растворимости, и сопутствующие им минимумы в области составов сплавов с эвтектической структурой. Времена достижения стрелы изгиба 5 мм при этих изотермах различаются в 15—40 раз.

Наибольший эффект этого различия выявляется в сплавах многокомпонентной системы Ni—Cr—W—Ti—Al с переменным содержанием алюминия (рис. 2). Время достижения стрелы изгиба 30 мм при 900° и $\sigma = 6$ кГ/мм² сплавов этой системы в области максимальной жаропрочности для сплавов с 3—5% Al составляет около 35 000 час., а для сплавов

* Значения жаропрочности на диаграммах состав — жаропрочность нами выражены временем достижения заданной стрелы изгиба при деформации сплавов на изгиб центробежным методом (⁷).

с 6—8% Al — всего несколько десятков час. (рис. 2). Многие другие примеры аналогичного типа описаны в работах (7—9).

За последнее время нами установлены закономерности изменения жаропрочности и пластичности в двойных и более сложных системах на основе ограниченных твердых растворов α -Ti (10—11). В качестве примера на рис. 3 приведена система Ti—Si (10). Она характеризуется ограниченной растворимостью кремния в α - и β -Ti, образованием силицида титана Ti_3Si_5 и эвтектоидным превращением (рис. 3а). Как и в предыдущих случаях, на диаграмме состав — жаропрочность за областью сплавов с максимальной жаропрочностью имеет место резкое ее снижение (рис. 3б). Составы сплавов с высокой пластичностью почти соответствуют эвтектоидному составу. Однако характер диаграммы состав — жаропрочность этой системы несколько отличается от системы Ni—Cr, вследствие наличия в системе Ti—Si силицида титана и отсутствия интерметаллида в системе Ni—Cr. В системе Ti—Si за областью снижения жаропрочности (рис. 3) имеет место дальнейшее ее повышение. Оно связано с влиянием возрастающего содержания в структуре сплавов тугоплавкого силицида титана. Такого рода закономерности нами установлены на других титановых системах: Ti—Cu (11), Ti—V—Nb (12), Ti—Al—Nb (13) и других.

Не приводя других диаграмм состав — жаропрочность с областями максимальных жаропрочности и пластичности изученных нами двойных, тройных и более сложных систем, ограничимся сводкой некоторых данных (табл. 1). В ней приведены изученные системы, условия испытания на жаропрочность, составы сплавов с максимальным и минимальным временем достижения заданной стрелы изгиба и различие этого времени для двух областей составов сплавов.

Как видно из табл. 1, время достижения заданной стрелы изгиба для сплавов с максимальной и минимальной жаропрочностью различается от нескольких единиц до тысячи раз. Это различие особенно возрастает по мере перехода от простых к сложным многокомпонентным сплавам, где, как мы отмечали выше, наблюдается значительное повышение жаропрочности (9).

Таблица 1

Сравнительная жаропрочность и пластичность сплавов в простых и многокомпонентных металлических системах (—12)

Системы	T, °C	$\frac{\sigma}{\text{kg/mm}^2}$	Составы сплавов (вес.%) с максимальными жаропрочностью (I) и пластичностью (II)				
			I	t , час.	II	t , час.	различие (t_I/t_{II})
Ni—Cr	1000	2,7	37—43 Cr	60	55—65 Cr	3—4	15—20
	800	12,3	35—40 Cr	40	50—60 Cr	1—2	20—40
Ti—Si	400	20	0,8—1,0 Si	600	1,1—1,3 Si	200	3
Ti—Cu	400	20	1,0—1,5 Cu	>1500	2—2,5 Cu	300	>5
Ti—V—Nb	500—600	20—15	3—4 Nb + V V : Nb = 1:3	140	20—30 Nb + V V : Nb = 1:3	1	~140
Ni—Cr—Ti	800	6,4	20 Cr 5,5—6,5 Ti	420	20 Cr 9—10 Ti	1	~400
Ni—Cr—Ti—Al	900	8,0	17 Cr 1,8 Ti 5,5—6,2 Al	620	17 Cr 1,8 Ti 8,5—9,5 Al	1	~620
Ni—Cr—W—Ti—Al	800	30	20 Cr, 6 W 4,5 Al 2—2,5 Ti	540	20 Cr, 6 W 4,5 Al 4,5—5,5 Ti	1	~540
Ni—Cr—W—Ti—Al	900	6	20 Cr, 6 W 1,5 Ti 5—6 Al	900	20 Cr, 6 W 1,5 Ti 7—8 Al	2	~4500

Хотя полученные данные не могут служить количественными характеристиками высокой жаропрочности и высокой пластичности сплавов, они качественно характеризуют несомненную связь между этими двумя взаимно противоположными свойствами. В одних и тех же металлических системах с ограниченной растворимостью составы сплавов с максимальной жаропрочностью сопутствуют сплавам с максимальной пластичностью. Следовательно, эти два экстремальные свойства могут рассматриваться совместно с учетом влияния состава, структуры, размеров и форм зерна, взаимодействия фаз в системе во времени и явления массопереноса при твердофазных реакциях. Важную роль в изучении этих явлений играют растворно-осадительный механизм разупрочнения и растворно-дисперсионный механизм упрочнения металлических сплавов.

Институт metallurgии им. А. А. Байкова
Академии наук СССР
Москва

Поступило
18 XI 1970

ЦИТИРОВАННАЯ ЛИТЕРАТУРА

- ¹ А. А. Бочвар, З. А. Свидерская, Изв. АН СССР, ОТН, № 9, 321 (1945).
- ² А. А. Бочвар, Сверхпластичность металлов и сплавов. Доклад в Инст. металлургии АН СССР, апрель, 1969.
- ³ А. А. Пресняков, Сверхпластичность металлов и сплавов, 1969.
- ⁴ А. Валль, М. Нитчисон, Metal Science J., 3, № 4, 1 (1969).
- ⁵ А. А. Бочвар, Изв. АН СССР, ОТН, № 5, 649 (1948).
- ⁶ А. А. Бочвар, Изв. АН СССР, ОТН, № 1, 136 (1957).
- ⁷ И. И. Корнилов, Физико-химические основы жаропрочности сплавов, Изд. АН СССР, 1961, стр. 475.
- ⁸ И. И. Корнилов, Свойства и применение жаропрочных сплавов, Сборн. докл., «Наука», 1966, стр. 3.
- ⁹ Л. А. Рябцев, И. И. Корнилов, Л. И. Прихиша, Структура и свойства жаропрочных материалов. Сборн. докл., «Наука», 1967, стр. 143.
- ¹⁰ Н. А. Зуйкова, Т. Т. Нартова, ДАН, 185, № 3, 633 (1969).
- ¹¹ Н. А. Зуйкова, И. И. Корнилов, Т. Т. Нартова, Металловед. и термообработка металлов, № 5, 53 (1970).
- ¹² В. С. Власов, И. И. Корнилов, Изв. АН СССР, ОТН, № 4, 31 (1958).
- ¹³ О. Н. Андреев, Металлы, № 1, 193 (1970).